

© 1992

## УПРУГИЕ СВОЙСТВА МЕДИ С СУБМИКРОКРИСТАЛЛИЧЕСКОЙ СТРУКТУРОЙ

*H. A. Ахмадеев, Р. З. Валиев, Н. П. Кобелев,  
Р. Р. Мулюков, Я. М. Сойфер*

Исследовались эволюция структуры и упругие свойства субмикрокристаллической меди. Образцы меди (чистотой 99.997 и 99.98%) с размером зерен от 0.2 мкм и выше получены интенсивной деформацией с последующим отжигом при температурах от 100 до 500 °С. Структура образцов изучалась методом электронной просвечивающей микроскопии. Упругие модули определялись из измерений продольных и поперечных скоростей звука импульсным методом на частоте 5 МГц. Обнаружено резкое увеличение упругих модулей (порядка 10%) после отжигов при температуре 125 °С для меди чистотой 99.997% и 175 °С для меди чистотой 99.98%. Структурные исследования показывают, что при этих температурах происходит переход границ зерен из неравновесного в равновесное состояние. Обсуждаются возможные механизмы такого изменения упругих свойств.

Большой интерес в настоящее время вызывают материалы с субмикрокристаллической структурой (СМК), получаемые после больших пластических деформаций. Они обладают рядом необычных механических свойств (универсальное сочетание высокой прочности и пластичности [1], относительно низкотемпературная сверхпластичность [2, 3], уменьшение константы в зависимости Холла—Петча при величине зерна менее 0.5 мкм [4]). В то же время физические механизмы такого поведения этих материалов пока не ясны. Для выяснения природы этого явления представляет интерес изучение упругих свойств СМК материалов, поскольку упругие свойства материала, как известно, характеризуют, с одной стороны, межатомные взаимодействия, а с другой — являются весьма структурно-чувствительными и могут дать дополнительную информацию о структуре материала.

В данной работе проведено исследование влияния микроструктуры на упругие свойства СМК меди.

### 1. Материал и методика

В качестве исследуемого материала использовались образцы меди чистотой 99.997 и 99.98%, которые для получения СМК подвергали деформации простым сдвигом по методу равноканального углового прессования [5]. Обработку проводили при комнатной температуре до истинных логарифмических степеней деформации  $e = 3$ . После деформации образцы имели размеры 100 × 14 × 14 мм. Из них на электроискровом станке вырезали образцы для структурных исследований (размером 6 × 6 × 0.4 мм) и для исследования упругих свойств (размером 14 × 14 × 14 мм). Структурные исследования выполняли на просвечивающем электронном микроскопе JEM-2000 EX при ускоряющем напряжении 200 кВ. Фольги готовили стандартным методом на приборе для струйной электрополировки. Средний размер зерна определялся методом секущих с точностью 5%. Упругие модули Юнга  $E$  и сдвига  $G$  вычислялись из измерений скоростей продольных  $v_L$  и поперечных  $v_T$  ультразвуковых волн по известным соотношениям

$$E = \frac{\rho v_t^2 (3v_l^2 - 4v_t^2)}{v_l^2 - v_t^2},$$

(1)

$$G = \rho v_t^2,$$

(2)

где  $\rho$  — плотность меди (8.94 г/см<sup>3</sup>). Скорости ультразвука измерялись при комнатной температуре эхо-импульсным методом [<sup>6</sup>] на частоте 5 МГц. Чтобы оценить возможную анизотропию упругих свойств из-за текстуры, возникающей при деформации, измерения скоростей продольных волн проводились в трех пространственных направлениях. Кроме того, для поперечных волн измерения выполнялись при двух различных поляризациях в плоскости колебаний. Погрешность измерений скорости звука составляла 0.1%, погрешность определения модулей упругости не превышала 0.3%.

Для получения различных структурных состояний проводили термическую обработку образцов в интервале температур отжига от 100 до 500 °С с выдержкой при каждой температуре в течение 1 ч в печи типа «СНОЛ» в воздушной среде. Измерения скоростей звука проводились при комнатной температуре.

## 2. Результаты измерений

На рис. 1, *a*, *b* представлены зависимости скоростей продольных и поперечных ультразвуковых волн от температуры отжига для образцов СМК меди чистотой 99.997%. Можно видеть, что по мере увеличения температуры отжига наблюдается повышение скоростей для всех направлений распространения ультразвука с резким увеличением их значений при температуре 125 °С.

Характер изменения скоростей на рис. 1 можно разбить на три участка. На первом (до 100 °С) заметных изменений скоростей продольных волн не происходит, скорости поперечных волн в двух направлениях по одной из поляризаций несколько увеличиваются (%). При этом наблюдаются небольшие различия в абсолютных величинах скоростей вдоль разных направлений распространения, связанные, видимо, с текстурой деформации. Отжиг при температурах около 125 °С приводит к резкому увеличению скоростей по всем направлениям. Для продольных волн этот рост составляет до 3%, для поперечных — 8%. При дальнейшем увеличении температуры отжига до 150 °С и выше (вплоть до 500 °С) скорости меняются незначительно. Характер изменения скоростей звука с температурой отжига в меди чистотой 99.98% аналогичен изменениям в более чистой меди (на рис. 1 приведены зависимости от температуры отжига скоростей звука в меди чистотой 99.98% вдоль одного из направлений), хотя уменьшение чистоты материала приводит к повышению характерной температуры, при которой наблюдается резкое увеличение скоростей звука, до 175 °С.

Электронно-микроскопические исследования показали, что после деформации в обоих типах образцов формируется однородная СМК структура со средним размером зерна 0.2 мкм (рис. 2, *a*). Ее особенностью является то, что на границах зерен отсутствует характерный полосчатый контраст, указывая на неравновесность их структуры [<sup>7</sup>]. Хотя в образцах присутствуют зерна, имеющие контраст, характерный для равновесных границ, однако их доля не более нескольких процентов от общего объема. Наличие контуров экстинкции внутри большинства зерен свидетельствует о больших внутренних напряжениях. Большинство зерен не содержит решеточных дислокаций, лишь внутри некоторых видны отдельные дислокации. На электронограммах, снятых с участка диаметром 0.75 мкм, наблюдается множество равномерно распределенных по окружности

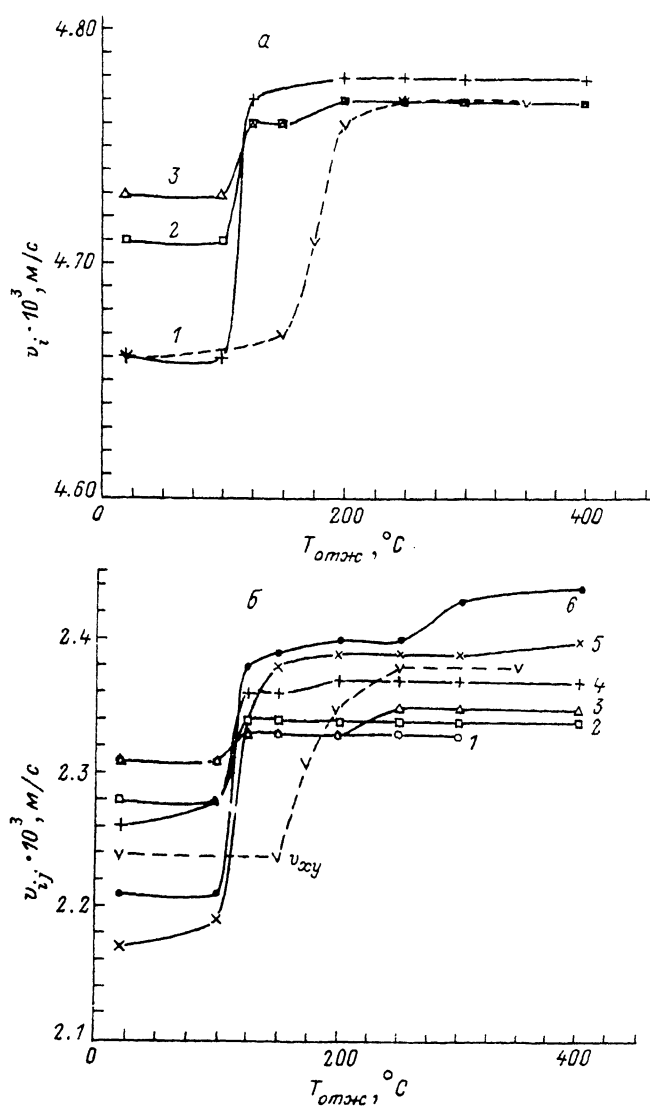


Рис. 1. Скорости продольных (*а*) и поперечных (*б*) ультразвуковых волн в трех взаимно перпендикулярных направлениях (ось *x* направленна вдоль оси деформации) в зависимости от температуры отжига для образцов меди чистотой 99.997%.

Штрихом обозначены аналогичные зависимости для меди чистотой 99.98%. *а*: 1 —  $v_x$ , 2 —  $v_y$ , 3 —  $v_z$ ; *б*: 1 —  $v_{xy}$ , 2 —  $v_{xz}$ , 3 —  $v_{yz}$ , 4 —  $v_{xx}$ , 5 —  $v_{yy}$ , 6 —  $v_{zz}$ .

точечных рефлексов, что указывает на большеугловые разориентировки соседних зерен.

Исследование структуры меди чистотой 99.997% после различных термообработок показывает, что к существенным изменениям приводит отжиг при 125 °С, когда формируется однородная структура со средним размером зерна 0.6 мкм (рис. 2, *б*). В этом случае большинство зерен имеет границы с типичным полосчатым контрастом, т. е. границы становятся равновесными. Контуры экстинкции внутри зерен практически полностью исчезают, что свидетельствует о снятии внутренних напряжений, а зерна остаются свободными от дислокаций.

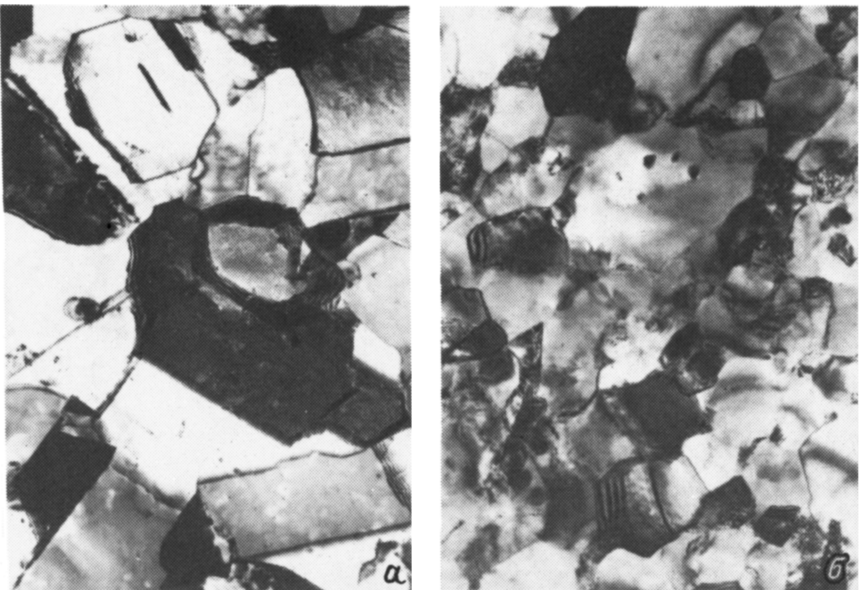


Рис. 2. Микроструктура деформированной меди.  
а)  $\epsilon = 3$ , б)  $\epsilon = 3 + \text{отжиг при } 125^{\circ}\text{C в течение 1 ч.}$

С повышением температуры отжига до  $150^{\circ}\text{C}$  и выше средний размер зерна увеличивается (до 1 мкм и более), однако характер границ не меняется. В меди чистотой 99.98% структурные изменения имеют аналогичный характер, но смешены примерно на  $50^{\circ}\text{C}$  в область более высоких температур. Контроль плотности образцов показал, что изменение структурного состояния материала в результате отжига не сопровождалось сколько-нибудь заметным изменением плотности.

На рис. 3 показаны зависимости  $E$  и  $G$  от среднего размера зерна  $d$ . Можно видеть, что на зависимости упругих модулей происходит резкий скачок в районе  $d = 0.6$  мкм, что соответствует температуре отжига  $125^{\circ}\text{C}$ . Увеличение модуля Юнга составляет 13%, модуля сдвига — 12%. Аналогичное изменение упругих свойств при близком размере зерна (соответствующем температуре отжига  $175^{\circ}\text{C}$ ) происходит и в меди чистотой 99.98%.

### 3. Обсуждение

Рассмотрим, с чем может быть связано столь сильное изменение эффективных упругих модулей СМК образцов меди в результате отжига. В первую очередь

рассмотрим три возможных механизма, вклад которых в изменение упругих модулей должен быть оценен. Это, во-первых, влияние высоких внутренних напряжений, которые в связи с нелинейностью упругих свойств могут приводить к изменению эффективных упругих констант. Во-вторых, влияние решеточных дислокаций, которые, как

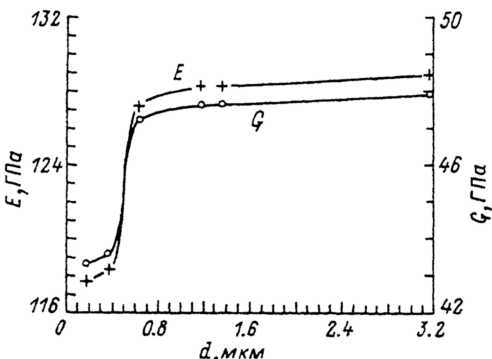


Рис. 3. Зависимости модулей упругости  $E$  и  $G$  от размера зерна в меди чистотой 99.997%.

известно, могут уменьшать упругие модули. В-третьих, возможный механизм — это прямой вклад в уменьшение модулей зернограницей области, поскольку упругие модули в границах могут быть иными, чем в объеме материала.

**Внутренние напряжения.** Нетрудно оценить величины внутренних напряжений, которые были бы необходимы, чтобы обеспечить наблюдаемое уменьшение упругих модулей. Вклад их в изменение модулей может быть записан в виде

$$M' \approx M + A \langle \epsilon \rangle, \quad (3)$$

где  $M$  — упругие модули,  $A$  — упругий модуль третьего порядка. Поскольку по порядку величины  $A/M \approx 10$ , то для изменения эффективных модулей на 10% средняя упругая деформация по образцу должна быть  $10^{-2}$ , что выглядит очень нереально.

**Решеточные дислокации.** Согласно струнной модели дислокаций Гранато-Люкке [8], их вклад в изменение модуля при комнатной температуре хорошо описывается выражением

$$\Delta G/G = \frac{Gb^2}{\pi^4 C} NL^2 \frac{1}{1 + (\omega\tau)^2}, \quad (4)$$

где  $\tau = BL^2/\pi^2 C$ ,  $N$  — плотность дислокаций,  $L$  — средняя длина свободного дислокационного сегмента,  $C$  — линейное натяжение дислокаций,  $B$  — коэффициент вязкого торможения,  $b$  — вектор Бюргерса. Можно провести оценки, какова должна быть величина  $L$ , чтобы обеспечить наблюдаемые изменения. Согласно результатам структурных исследований, средняя плотность решеточных дислокаций в зернах не превышает  $10^9 \text{ см}^{-2}$ , поэтому, для того чтобы  $\Delta G/G$  составила ~10%, необходимы величины  $L \sim 10^{-4} \text{ см}$ , что почти на порядок больше размера зерна (0.2 мкм). Таким образом, можно заключить, что, скорее всего, нерешеточные дислокации определяют наблюдаемое изменение модулей, что совпадает с выводами работы [9], где исследовался рекристаллизационный пик внутреннего трения в меди.

**Упругие модули границы.** Если предположить, что упругие модули границ (межзеренной области) отличаются от упругих модулей идеального кристалла, то эффективные модули поликристаллического материала будут комбинацией упругих модулей матрицы и границ, и если объем, занимаемый границами, существен, то это может привести к заметному изменению в эффективных модулях. Грубую оценку сверху для упругих модулей границ зерен можно получить, используя приближение Ройса [10], т. е. считая, что эффективные упругие модули  $M$  такого композита можно записать в виде

$$M^{-1} = (1 - \alpha) M_{kp}^{-1} + \alpha M_{gp}^{-1}, \quad (5)$$

где  $M_{kp}$  — модуль кристаллической матрицы,  $M_{gp}$  — модуль границы,  $\alpha$  — относительный объем границ. Полагаем  $\alpha = 3\Delta d/d$ , где  $d$  — размер зерна,  $\Delta d$  — ширина границы. В качестве  $M_{kp}$  возьмем упругие модули меди после отжига при  $500^\circ\text{C}$ , когда вкладом границ заведомо можно пренебречь. В [11] показано, что в СМК металле эффективная физическая ширина значительно превышает кристаллографическую ширину границ зерен. Если принять, что для меди со средним размером зерен 0.36 мкм и неравновесными границами величина  $\Delta d$  составляет 4 нм, то для модулей  $M_{gp}$  получим величины, составляющие 15—17% от  $M_{kp}$ . Если учесть, что полученные величины являются оценкой сверху по

всем границам и что даже в аморфных металлах модули понижаются лишь на 20—30% по сравнению с кристаллическим состоянием, то предположение, что наблюдаемые изменения определяются только влиянием упругих модулей границ, кажется маловероятным. Однако численный расчет методом внедренного атома [12] дал величину модуля сдвига границ зерен, близкую к приведенной выше оценке.

В то же время следует отметить, что уменьшение упругих модулей после сильной пластической деформации наблюдается и в поликристаллах меди с существенно большим размером зерна [9], где о вкладе границ в этом смысле вряд ли можно говорить. Из сравнения результатов измерений упругих модулей с данными структурных исследований вытекает, что основное изменение упругих характеристик происходит при переходе структуры границы от неравновесного к равновесному состоянию. Вместе с тем видно, что изменение величины зерна, если структурное состояние границы не меняется, не приводит к заметным изменениям упругих свойств. Поэтому еще одним из возможных объяснений наблюдаемого эффекта могла бы явиться обратимая динамическая перестройка неравновесной границы в поле механических напряжений, создаваемых звуковой волной. После больших пластических деформаций формируется структура с неравновесными границами, которые образуются благодаря ротационным модам деформации [13]. В отличие от обычных большеглавых границ они обладают дальнодействующим напряжением, которое объясняется наличием большой плотности дефектов в области этих границ [7, 13]. Отжиг при температурах первичной рекристаллизации приводит к трансформации зернограницкой структуры, перестройке неравновесных границ в относительно равновесные благодаря аннигиляции неравновесных дефектов, что сопровождается релаксацией напряжений вдоль границ. Возможно, что движение этих дефектов в поле напряжений звуковой волны, их упругая релаксация, приводящие к дополнительной деформации, и объясняют понижение эффективных упругих модулей. К сожалению, сейчас трудно конкретизировать, какого типа дефекты это могут быть. Необходимы дальнейшие экспериментальные и теоретические исследования этого эффекта.

#### Список литературы

- [1] Abdulov R. Z., Valiev R. Z., Krasilnikov N. A. // Mater. Sci. Lett. 1990. N 9. P. 1445—1447.
- [2] Валиев Р. З., Кайбышев О. А., Кузнецов Р. И., Мусалимов Р. Ш., Ценев Н. К. // ДАН СССР. 1988. Т. 301. № 4. С. 864—866.
- [3] Валиахметов О. Р., Галеев Р. М., Салишев Г. А. // ФММ. 1990. № 10. С. 204—206.
- [4] Valiev R. Z., Krasilnikov N. A., Tsenev N. K. // Mater. Sci. and Eng. 1991. V. A137. P. 35—40.
- [5] Ахмадеев Н. А., Валиев Р. З., Копылов В. И., Мулюков Р. Р. // Изв. АН СССР. Металлы. 1992 (в печати).
- [6] Труэлл Р., Эльбаум Ч., Чик. Ультразвуковые методы в физике твердого тела. М.: Мир, 1972. 307 с.
- [7] Кайбышев О. А., Валиев Р. З. Границы зерен и свойства металлов. М.: Металлургия, 1987. 214 с.
- [8] Granato A., Lucke K. // J. Appl. Phys. 1956. V. 27. N 5. P. 583—593.
- [9] Kobelev N. P., Soifer Ya. M. // Scripta Met. 1992 (in press).
- [10] Reuss A. // Zs. Angew. Math. Mech. 1929. V. 9. P. 49.
- [11] Valiev R. Z., Mulyukov R. R., Ovchinnikov V. V. // Phil. Mag. Lett. 1990. V. 62. N 4. P. 253—256.
- [12] Wolf D., Kluge M. D. // Scripta Met. 1990. V. 24. P. 907—912.
- [13] Рыбин В. В. Большие пластические деформации и разрушение металлов. М.: Металлургия, 1986. 224 с.

Институт физики твердого тела РАН  
Черноголовка  
Московская обл.

Институт проблем сверхпластичности металлов РАН  
Уфа

Поступило в Редакцию  
17 мая 1992 г.